

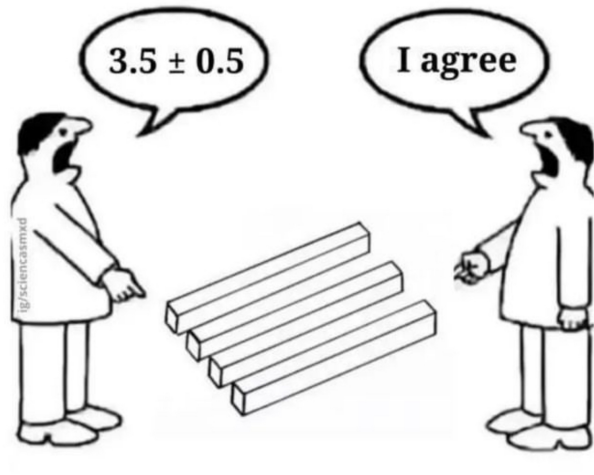
# Per iniziare: una rassegna di paper

Massimo Borelli

17 Luglio 2024







## Pg - NB

Pogonion to Nasion - B point

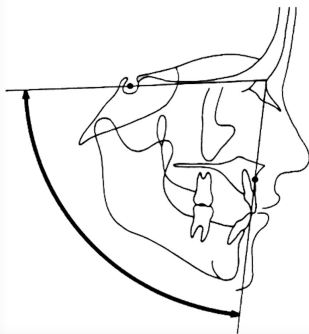
$3 \text{ mm} \pm 2 \text{ mm}$



## SNA

Sella - Nasion - A point

$82^\circ \pm 3^\circ$



**Massimiliano Zaccaria, Paolo Vigolo**

# Verifica clinica dell'affidabilità dell'arco facciale digitale (AFD) nel flusso di lavoro full digital. Parte 1: descrizione della tecnica

perdita media dei livelli ossei era di  $0,40 \pm 0,20$  mm

**Scopo:** in questo articolo si propone una tecnica per trasferire con la stessa affidabilità dell'arco facciale convenzionale la posizione spaziale del mascellare superiore nel flusso di lavoro completamente digitale ricorrendo solamente alle scansioni di volto e denti e al disegno CAD dell'articolatore senza nessun dispositivo accessorio e senza ricorrere a radiazioni ionizzanti. **Materiali e metodi:** i materiali utilizzati sono lo scanner industriale Spider, uno scanner dentale Trios e un software di reverse engineering Geomagic StudioX. Si sono individuati punti sulle superfici delle scansioni, costruiti piani e assi di rotazione. Si sono allineati l'arcata dentale superiore derivante dalla scansione del volto con la scansione *intraorale*. Il piano di rotazione dell'articolatore con l'asse cerniera. Si è quindi esportato un unico file con articolatore e arcata superiore perfettamente orientati: tale file è stato infine importato nell'ambiente di modellazione digitale. **Risultati:** il follow-up a 5 anni, ha evidenziato una perdita media dei livelli ossei, era di  $0,40 \pm 0,2$  mm nel gruppo impianti short, mentre nel gruppo impianti standard era di  $0,3 \pm 0,1$  mm, con un tasso di sopravvivenza del 96,2% nel gruppo short e del 95,2% nel gruppo standard. **Risultati e conclusioni:** le reciproche posizioni delle arcate durante le escursioni limite in lateralità e in protrusione sono registrate mediante scansione intraorale. Si sono sovrapposte queste scansioni alla posizione assunta dalle arcate nell'ambiente digitale sia a seguito dell'uso dell'arco facciale digitale sia in caso di posizionamento arbitrario dei modelli in articolatore digitale. Si è potuto verificare che quando si usa l'arco facciale digitale (AFD) i modelli si sovrappongono con precisione.

**Parole chiave:** Arco facciale digitale, Reverse engineering.

## A randomized clinical trial on zirconia versus titanium implants in maxillary single tooth replacement

J. H. W. de Beus<sup>1,2</sup>  | M. S. Cune<sup>1,3</sup> | J. W. A. Slot<sup>1</sup>  | C. Jensen-Louwerse<sup>1</sup> | S. la Bastide-van Gemert<sup>4</sup> | H. J. A. Meijer<sup>1,2</sup>  | G. M. Raghoebar<sup>2</sup>  | U. Schepke<sup>2</sup> 

In a recent meta-analysis that examined marginal bone loss for Roxolid implants, a mean loss of **0.36 mm (SD 0.06 mm)** was reported (Altuna et al., 2016). An estimate for one-year bone loss for Pure® ZrO<sub>2</sub> im-

perdita media dei livelli ossei era di  $0,40 \pm 0,20$  mm  
a mean loss of 0.36 mm (SD 0.06 mm)

**Table 5 Mean and median pure alcohol consumption (g) during the previous week and the proportion of medium and high risk drinkers (respondents who had drunk at least one portion of alcohol) by gender, country and study year, 1994-2006**

Study year	Estonia		
	n	Mean (SD) g/week	Median g/week
1994	362	128 (147)	79

perdita media dei livelli ossei era di  $0,40 \pm 0,20$  mm  
a mean loss of 0.36 mm (SD 0.06 mm)  
mean 128 g/week (SD 147 g/week)

# Sagittal and Vertical Growth of the Maxillo–Mandibular Complex in Untreated Children: A Longitudinal Study on Lateral Cephalograms Derived from Cone Beam Computed Tomography

by Leah Yi †✉, Hyeran Helen Jeon †✉, Chenshuang Li ✉✉, Normand Boucher ✉ and Chun-Hsi Chung \*✉

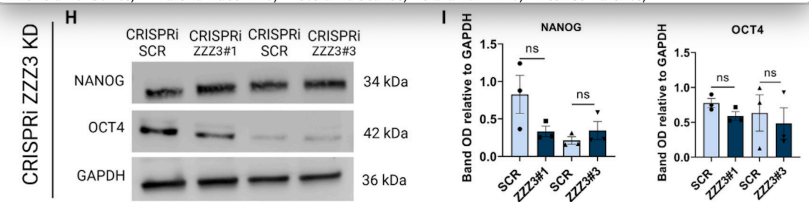
Department of Orthodontics, School of Dental Medicine, University of Pennsylvania, Philadelphia, PA 19104, USA

**Table 2.** The annual average changes in the linear and angular measurements

	N	Average	SD	Min	Max	p-Value
SN (mm)	11	0.90	0.49	0.00	1.82	*
Co–Gn (mm)	11	2.51	0.51	1.51	3.18	*
SNA (°)	11	-0.02	0.77	-2.00	0.95	NS
SNB (°)	8	0.23	0.49	-0.49	0.84	NS
ANB (°)	8	-0.37	0.53	-1.57	0.11	NS
SN–GoGn (°)	8	-0.54	0.37	-1.20	0.08	*
CB line–A (°)	11	0.16	0.59	-0.85	1.06	NS
CB line–B (°)	8	0.48	0.61	-0.35	1.48	NS
A–CB point–B (°)	8	-0.43	0.35	-1.13	-0.07	*
CB line–GoGn (°)	8	-0.67	0.69	-2.17	0.08	*
CB line–My point (°)	11	0.47	0.64	-0.33	1.65	*

### Unraveling the impact of ZZZ3 on the mTOR/ribosome pathway in human embryonic stem cells homeostasis

Michela Lo Conte,<sup>1,7</sup> Valeria Lucchino,<sup>1,7</sup> Stefania Scalise,<sup>1</sup> Clara Zannino,<sup>1</sup> Desirée Valente,<sup>1</sup>



**Figure 2. Pluripotency and differentiation are kept intact upon ZZZ3 KD**

### Unraveling the impact of ZZZ3 on the mTOR/ribosome pathway in human embryonic stem cells homeostasis

Michela Lo Conte,<sup>1,7</sup> Valeria Lucchino,<sup>1,7</sup> Stefania Scalise,<sup>1</sup> Clara Zannino,<sup>1</sup> Desirée Valente,<sup>1</sup>

